

Elektrische Eigenschaften**Electrical properties****Höchstzulässige Werte****Maximum rated values**

Periodische Vorwärts- und Rückwärts-Spitzenperrspannung Vorwärts-Stoßspitzen- sperrspannung Rückwärts-Stoßspitzen- sperrspannung Durchlaßstrom-Grenzeffektivwert Dauergrenzstrom Stoßstrom-Grenzwert Grenzlastintegral Kritische Stromsteilheit Kritische Spannungssteilheit	repetitive peak forward off-state and reverse voltages	$t_{vj} = -40^\circ\text{C}$ $t_{vj\ max}$	V_{DRM}, V_{RRM}	800, 1000	V
	non repetitive peak forward off-state voltage	$t_{vj} = -40^\circ\text{C} \dots t_{vj\ max}$	$V_{DSM} = V_{DRM}$	1100, 1200	v
	non repetitive peak reverse voltage	$t_{vj} = + 25^\circ\text{C}$ $t_{vj\ max}$	$V_{RSM} = V_{RRM}$	+ 100	v
	RMS on-state current		I_{TRMSM}	200	A
	average on-state current	$t_C = 85^\circ\text{C}$	I_{TAVM}	80	A
		$t_C = 52^\circ\text{C}$		127	A
	surge current	$t_{vj} = 25^\circ\text{C}, t_p = 10\text{ ms}$	I_{TSM}	2800	A
		$t_{vj} = t_{vj\ max}, t_p = 10\text{ ms}$		2450	A
Grenzlastintegral Kritische Stromsteilheit Kritische Spannungssteilheit	I^2t -value	$t_{vj} = 25^\circ\text{C}, t_p = 10\text{ ms}$	I^2t	39200	A^2s
	critical rate of rise of on-state current	$t_{vj} = t_{vj\ max}, t_p = 10\text{ ms}$		30000	A^2s
		$V_D \leq 67\% V_{DRM}, f = 50\text{ Hz}$	$(di/dt)_{cr}$	160	$\text{A}/\mu\text{s}$
		$i_{GM} = 0,6\text{ A}, di_G/dt = 0,6\text{ A}/\mu\text{s}$		¹⁾ ²⁾	
		$t_{vj} = t_{vj\ max}, V_D = 67\% V_{DRM}$	$(dv/dt)_{cr}$	B: 50 50	$\text{V}/\mu\text{s}$
			c*: 500 500		$\text{V}/\mu\text{s}$
			L: 500 50		$\text{V}/\mu\text{s}$
			M*: 1000 500		$\text{V}/\mu\text{s}$

Charakteristische Werte**Characteristic values**

Durchlaßspannung Schleusenspannung Ersatzwiderstand Zündstrom Zündspannung Nicht zündender Steuerstrom Nicht zündende Steuerspannung Haltestrom Einraststrom Vorwärts- u. Rückwärts-Sperrstrom Zündverzug Freiwerdezeit	on-state voltage	$t_{vj} = t_{vj\ max}, i_T = 400\text{ A}$	V_T	max.	2,4	V
	threshold voltage	$t_{vj} = t_{vj\ max}$	$V_{T(TO)}$		1,3	v
	slope resistance	$t_{vj} = t_{vj\ max}$	r_T		2,4	$\text{m}\Omega$
	gate trigger current	$t_{vj} = 25^\circ\text{C}, V_D = 12\text{ v}$	I_{GT}	max.	150	mA
	gate trigger voltage	$t_{vj} = 25^\circ\text{C}, V_D = 12\text{ v}$	V_{GT}	max.	2	v
	gate non-trigger current	$t_{vj} = t_{vj\ max}, V_D = 12\text{ v}$	I_{GD}	max.	10	mA
	gate non-trigger voltage	$t_{vj} = t_{vj\ max}, V_D = 0,5 V_{DRM}$	V_{GD}	max.	0,25	V
	holding current	$t_{vj} = 25^\circ\text{C}, V_D = 12\text{ v}, R_A = 10\ \Omega$	I_H	max.	250	mA
	latching current	$t_{vj} = 25^\circ\text{C}, V_D = 12\text{ v}, R_{lk} \geq 10\ \Omega$	I_L	max.	1	A
	forward off-state and reverse Currents	$i_{GM} = 0,6\text{ A}, di_G/dt = 0,6\text{ A}/\mu\text{s}, t_g = 20\ \mu\text{s}$	i_D, i_R	max.	30	mA
	gate controlled delay time	$t_{vj} = t_{vj\ max}, V_D = V_{DRM}, V_R = V_{RRM}$	t_{gd}	max.	1,4	μs
	circuit commutated turn-off time	$t_{vj} = 25^\circ\text{C}, i_{GM} = 0,6\text{ A}, di_G/dt = 0,6\text{ A}/\mu\text{s}$ siehe Techn. Erl./see Techn. Inf.	t_q	S:	18	μs
			E:	max.	20	μs
			F:	max.	25	μs

Thermische Eigenschaften**Thermal properties**

Innerer Wärmewiderstand Höchstzul. Sperrsichttemperatur Betriebstemperatur Lagertemperatur	thermal resistance, junction to case	$\Theta = 180^\circ \text{ el, sin DC}$	R_{thJC}	max.	0,28	"CIW
				max.	0,261	$^\circ\text{C/W}$
				$t_{vj\ max}$		125°C
				t_{cop}		-40 ... + 125°C
				t_{stg}		-40 ... + 150°C

Mechanische Eigenschaften**Mechanical properties**

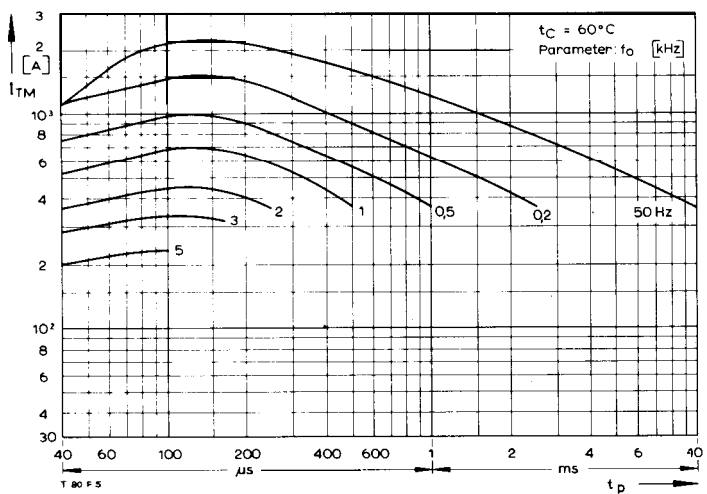
Si-Element mit Druckkontakt Anzugsdrehmoment Gewicht Kriechstrecke Feuchteklaasse Schwingfestigkeit Maßbild B	Si-pellet with pressure contact			M G	typ.	20 Nm
	tightening torque					150 g
	weight					8mm
	Creepage distance					C
	humidity classification	DIN 40040				50 m/s ²
	Vibration resistance	f = 50 Hz				
	outline B	DIN 41892-204B3				Seite/page 154

* Für größere Stückzahlen bitte Liefertermin erfragen! Delivery for larger quantities on request

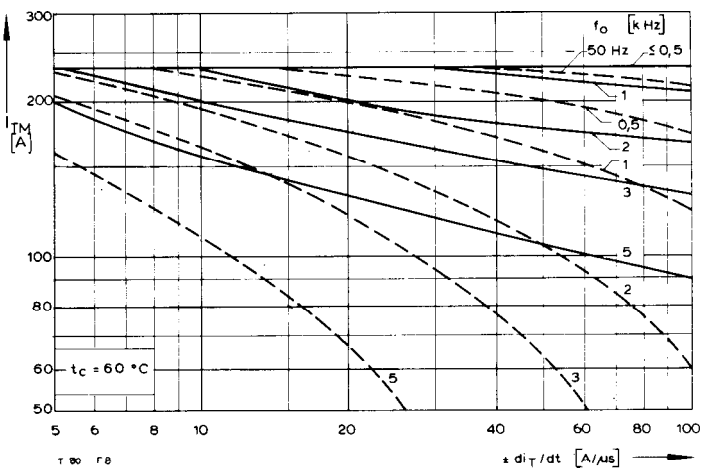
1) Werte nach DIN IEC 747-6 (ohne vorausgehende Kommutierung) Values to DIN IEC 747-6 (without prior commutation)

2) Unmittelbar nach der Freiwerdezeit, vgl. Meßbedingungen für t_q / Immediately after circuit commutated turn-off time, see Parameters t_q

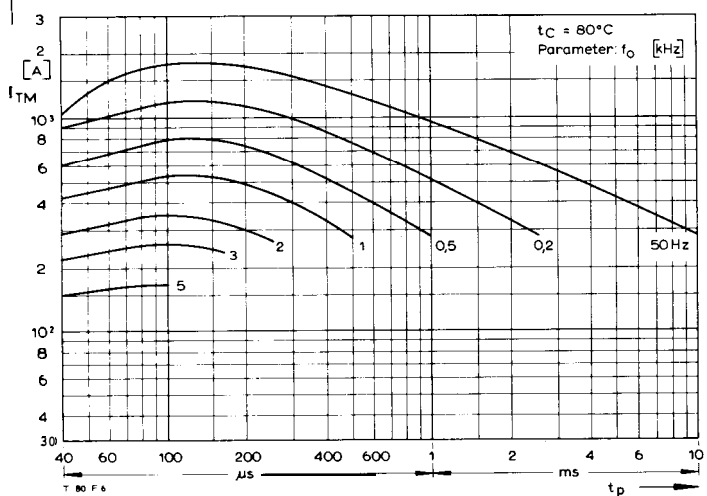
T 80 F



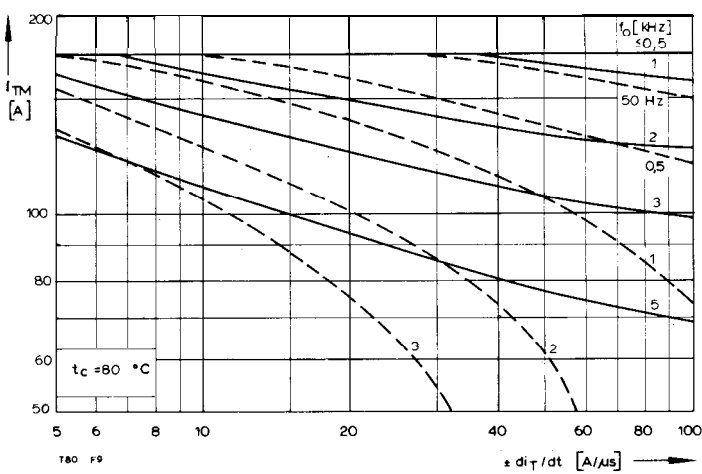
Bild/Fig. 1



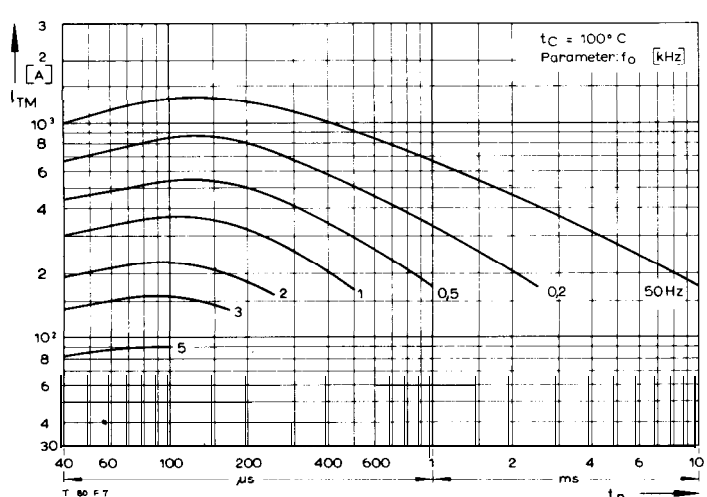
Bild/Fig. 4



Bild/Fig. 2



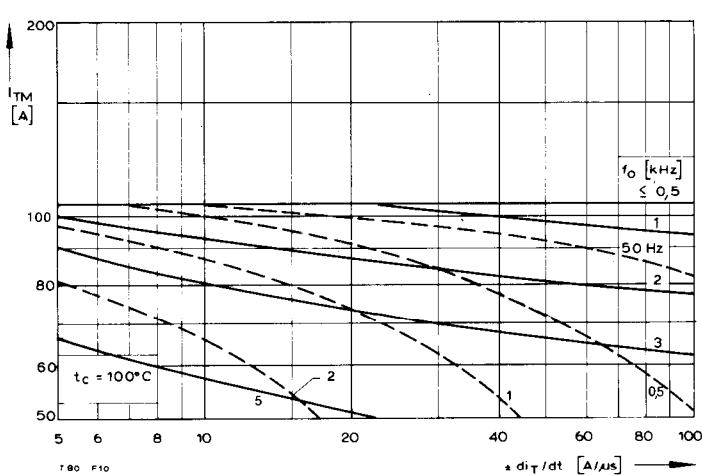
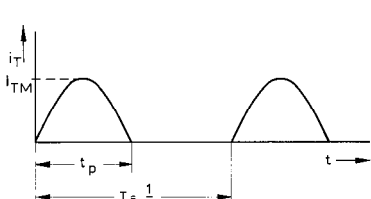
Bild/Fig. 5



Bild/Fig. 3

Bild/Fig. 1, 2, 3
Steuergenerator/pulse generator:
 $i_G = 0,6 \text{ A}$, $di_G/dt = 0,6 \text{ A/μs}$

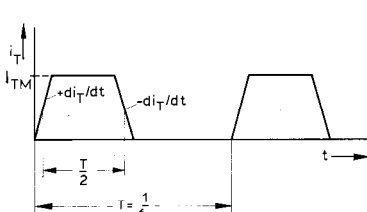
RC-Glied/RC-network:
 $R [\Omega] \geq 0,02 V_{DM} [\text{V}]$
 $C \leq 0,15 \mu\text{F}$
 $V_{DM} \leq 0,67 V_{DRM}$



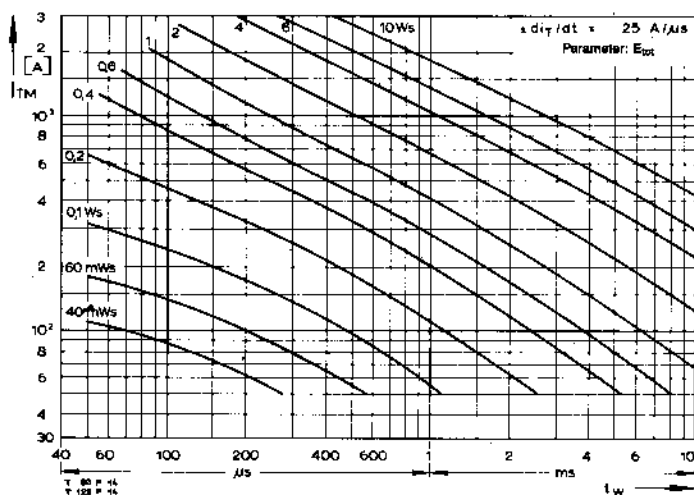
Bild/Fig. 6

Bild/Fig. 4, 5, 6
Steuergenerator/pulse generator:
 $i_G = 0,6 \text{ A}$, $di_G/dt = 0,6 \text{ A/μs}$

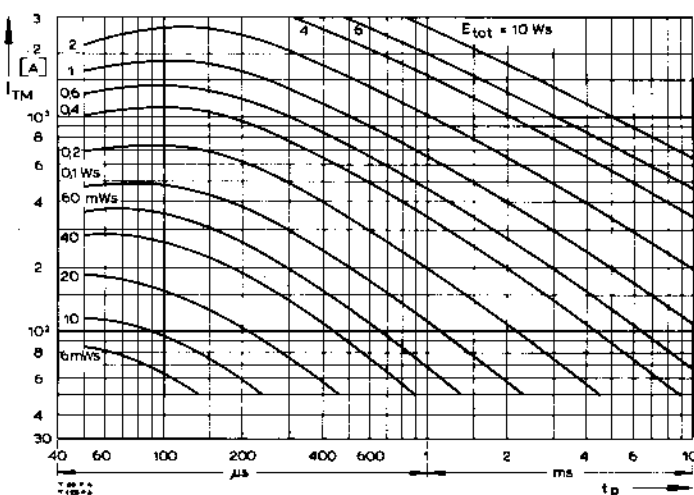
RC-Glied/RC-network:
 $R [\Omega] \geq 0,02 V_{DM} [\text{V}]$
 $C \leq 0,22 \mu\text{F}$
 $V_{DM} \leq 0,67 V_{DRM}$
 $di_V/dt \leq 600 \text{ V/μs}$
 $V_{RM} \leq 0,67 V_{DRM}$



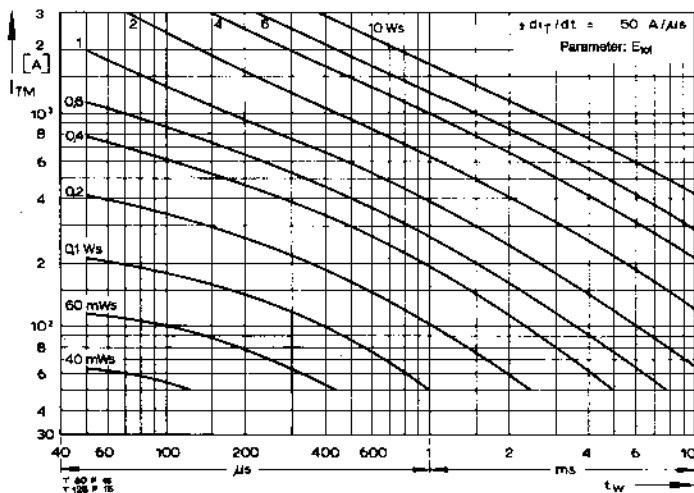
T 80 F



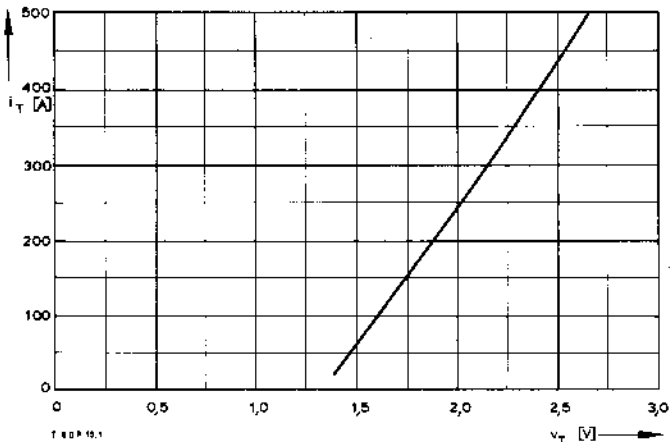
Bild/Fig. 10



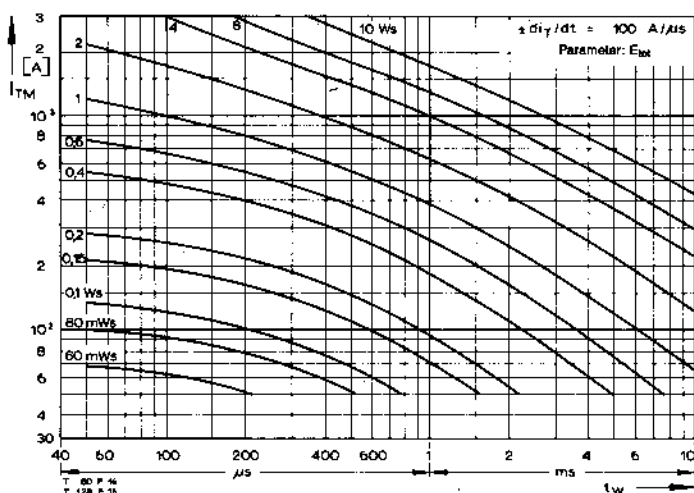
Bild/Fig. 13



Bild/Fig. 11



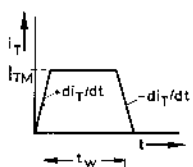
Bild/Fig. 14



Bild/Fig. 12

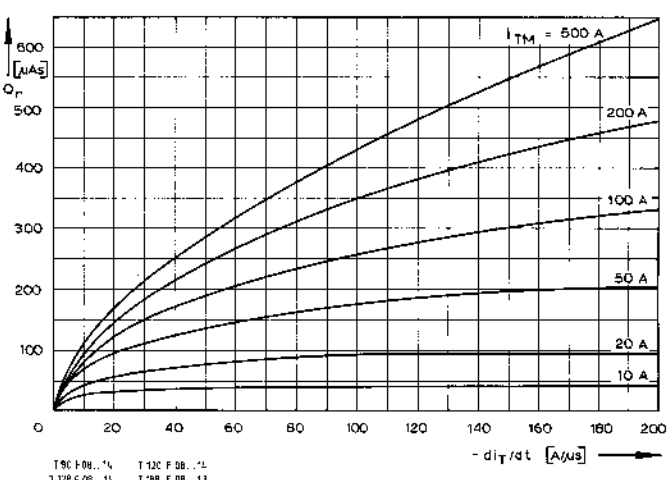
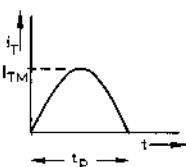
Bild/Fig. 10, 11, 12
Steuergenerator/pulse generator:
 $i_G = 0.6 \text{ A}$, $di_G/dt = 0.6 \text{ A}/\mu\text{s}$

RC-Glied/RC-network:
 $R [\Omega] \geq 0.02 V_{DM} [\text{V}]$
 $C \leq 0.22 \mu\text{F}$
 $V_{DM} \leq 0.87 V_{RPM}$
 $dv_R/dt \leq 500 \text{ V}/\mu\text{s}$
 $V_{RM} \leq 0.67 V_{RPM}$

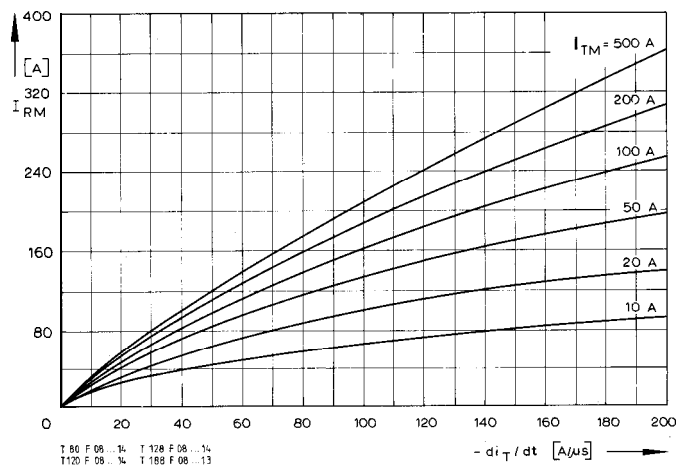


(zu Bild/Fig. 13)
Steuergenerator/pulse generator:
 $i_G = 0.6 \text{ A}$, $di_G/dt = 0.6 \text{ A}/\mu\text{s}$

RC-Glied/RC-network:
 $R [\Omega] \geq 0.02 V_{DM} [\text{V}]$
 $C \leq 0.15 \mu\text{F}$

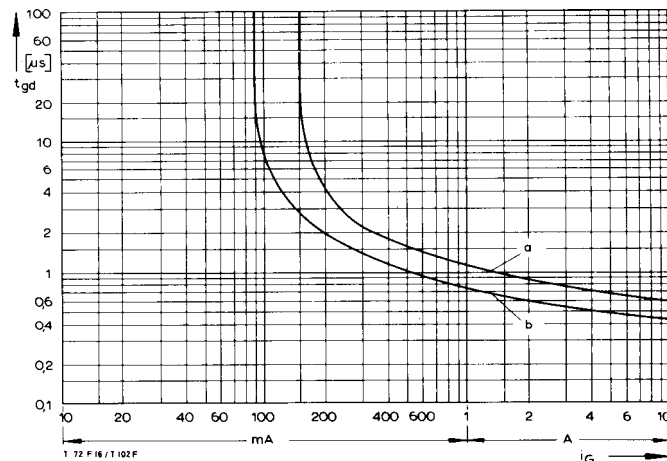


Bild/Fig. 15



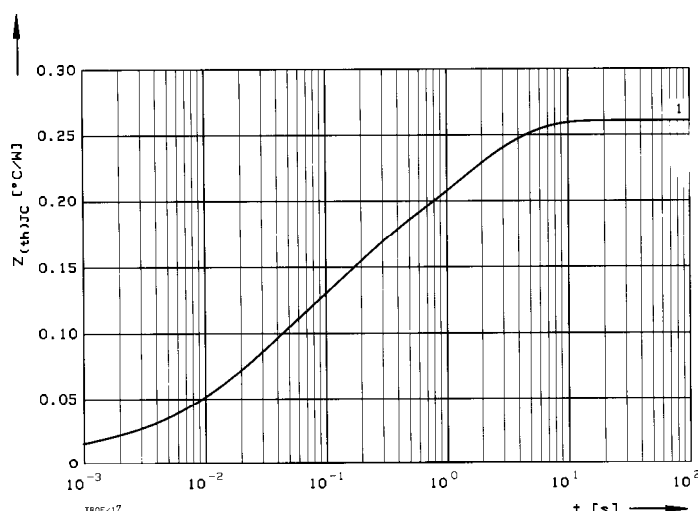
Bild/Fig. 16

Rückstromspitze $I_{RM} = f(-di/dt)$, $t_{vj} = t_{vj(max)}$, $V_R = 0.5 V_{RRM}$, $V_{RM} = 0.8 V_{RRM}$
 Peak reverse recovery current $I_{RM} = f(-di/dt)$, $t_{vj} = t_{vj(max)}$, $V_R = 0.5 V_{RRM}$, $V_{RM} = 0.8 V_{RRM}$
 Parameter: Durchlaßstrom/On-state current I_{TM}



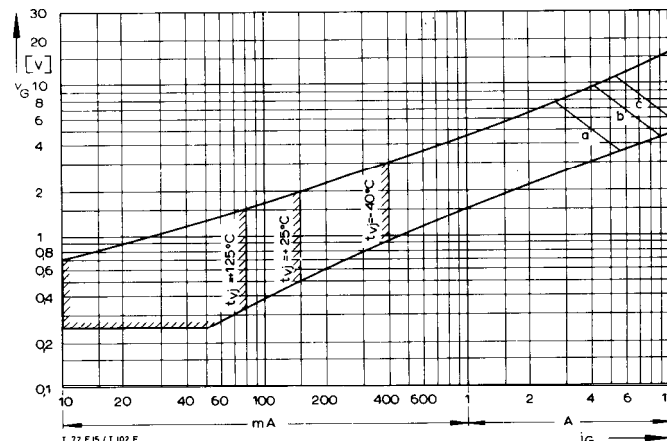
Bild/Fig. 18

Zündverzug/Gate controlled delay time $t_{gd} = f(i_G)$, $t_{vj} = 25^\circ C$, $di_G/dt = I_{GM}/1\mu s$
 a – Maximaler Verlauf/Limiting Characteristic
 b – Typischer Verlauf/Typical Characteristic



Bild/Fig. 17

Transiente innerer Wärmewiderstand $Z_{therm,JC} = f(t)$, DC
 Transient thermal impedance $Z_{therm,JC} = f(t)$, DC



Bild/Fig. 19

Steuercharakteristik mit Zündbereichen/Gate Characteristic with triggering areas
 $V_G = f(i_G)$, $V_D = 12 V$

Parameter:	a	b	c
Steuerimpulsdauer/Trigger pulse duration t_g [ms]	10	1	0,5
Höchstzulässige Spitzensteuerverlustleistung/ Max. rated peak state power dissipation P_{GM} [W]	20	40	60

Analytische Elemente des transienten Wärmewiderstandes $Z_{th,JC}$ für DC
 Analytical elements of transient thermal impedance $Z_{th,JC}$ for DC

Pos. n	1	2	3	4	5	6	7
R_{thn} [°C/W]	0,012063	0,019762	0,054867	0,069583	0,045603	0,058956	
τ_n [s]	0,000531	0,006426	0,025215	0,133728	0,795190	2,643219	

Analytische Funktion/analytical function:

$$Z_{th,JC} = \sum_{n=1}^{n_{max}} R_{thn} (1 - \text{EXP}(-t/\tau_n))$$